

## 第26讲 平面动力系统

December 31, 2014

# 一. 平面动力系统

- 平面动力系统:

$$\frac{dx}{dt} = X(x, y), \quad \frac{dy}{dt} = Y(x, y) \quad (1)$$

其中  $X(x, y)$  和  $Y(x, y)$  在平面  $R^2$  上连续。

- 考虑奇点是坐标原点的情形。假设(1)在点  $(0, 0)$  附近可有：

$$\frac{d}{dt} \begin{pmatrix} x \\ y \end{pmatrix} = A \begin{pmatrix} x \\ y \end{pmatrix} + R(x, y) \quad (2)$$

其中  $A$  是二阶实矩阵， $R(x, y)$  在点  $(0, 0)$  附近连续可微，

$$R(0, 0) = 0, \text{ 且 } \lim_{r \rightarrow 0} \frac{R(x, y)}{r} = 0, \text{ 其中 } r = \sqrt{x^2 + y^2}.$$

# 一. 平面动力系统

- 奇点:  $(0, 0)$

初等奇点:  $\det A \neq 0$

高阶奇点:  $\det A = 0$

- 在奇点附近, (2)的轨线分布与它的一次近似方程组:

$$\frac{d}{dt} \begin{pmatrix} x \\ y \end{pmatrix} = A \begin{pmatrix} x \\ y \end{pmatrix} \quad (3)$$

相似.

## 二. 在 $\det A \neq 0$ 下 $x' = Ax$ 奇点附近的轨线分布

- 系统:

$$\frac{dx}{dt} = Ax, \quad A = \begin{bmatrix} a & b \\ c & d \end{bmatrix}, \quad \det A \neq 0 \quad (4)$$

唯一的奇点(平衡点):  $(0, 0)$ .

- 存在可逆阵  $T$  使得  $T^{-1}AT = J$ , 其中  $J$  为约当标准型,  $J$  有下列三种形式:

$$\begin{bmatrix} \lambda & 0 \\ 0 & \mu \end{bmatrix}, \quad \begin{bmatrix} \lambda & 0 \\ 1 & \lambda \end{bmatrix}, \quad \begin{bmatrix} \alpha & -\beta \\ \beta & \alpha \end{bmatrix} \quad (5)$$

## 二. 在 $\det A \neq 0$ 下 $x' = Ax$ 奇点附近的轨线分布

- 令  $x = Ty$ , 则方程(4)化为

$$\frac{dy}{dt} = Jy \quad (6)$$

方程(4)和方程(6)奇点相同, 原点附近轨线形状相同, 只是坐标系进行了平移和旋转。

- 不失一般性, 只需考虑系统(4), 其中矩阵  $A$  为(5)中的三种情形。

## 二. 在 $\det A \neq 0$ 下 $x' = Ax$ 奇点附近的轨线分布

(I)  $A = \begin{bmatrix} \lambda & 0 \\ 0 & \mu \end{bmatrix}$ ,  $A$ 有两个实根。

- 此时方程化为:

$$\begin{cases} \frac{dx}{dt} = \lambda x \\ \frac{dy}{dt} = \mu y \end{cases}$$

$$x = c_1 e^{\lambda t}, \quad y = c_2 e^{\mu t}$$

$$\frac{dy}{dx} = \frac{\mu y}{\lambda x} \Rightarrow y = cx \frac{\mu}{\lambda}, \quad x = 0$$

# 星形结点

(a)  $\lambda = \mu$ , 即  $A$  有两个相同的实特征根, 约当块是一阶的。

轨线:  $y = cx$ , 轨线为过原点的直线束。

- $\lambda < 0$ :  $t \rightarrow +\infty, (x(t), y(t)) = (c_1 e^{\lambda t}, c_2 e^{\mu t}) \rightarrow (0, 0)$ , 奇点稳定, 称为稳定的星形结点 (见图1) ;
- $\lambda > 0$ : 奇点不稳定, 称为不稳定的星形结点 (见图2) 。

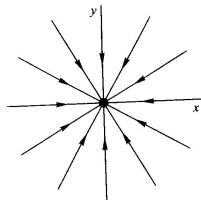


图1 稳定的星形结点

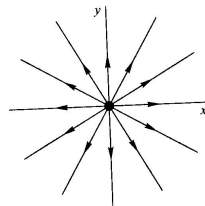


图2 不稳定的星行结点

# 结点

(b)  $\lambda \neq \mu, \lambda\mu > 0$ , 即  $A$  有两个同号且不相等的实根。

轨线:  $y = cx^{\frac{\mu}{\lambda}}$ , 轨线为抛物线。 $\frac{dy}{dx} = c\frac{\mu}{\lambda}x^{\frac{\mu}{\lambda}-1}$ .

- 当  $\frac{\mu}{\lambda} > 1$  时, 轨线与  $x$  轴相切;
- 当  $\frac{\mu}{\lambda} < 1$  时, 轨线与  $y$  轴相切。
- $\lambda < 0, \mu < 0$ : 奇点稳定, 称为稳定的双向结点 (见图3);
- $\lambda > 0, \mu > 0$ : 奇点不稳定, 称为不稳定的双向结点 (见图4)。

# 结点

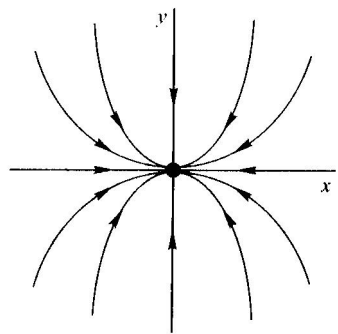


图3 稳定的正常结点

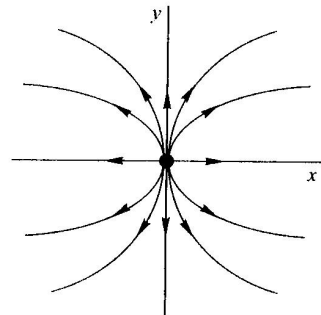


图4 不稳定的正常结点

# 鞍点

(c)  $\lambda\mu < 0$ , 即  $A$  有两个异号且不相等的实根

轨线:  $y = cx^{\frac{\mu}{\lambda}}$ , 轨线为双曲线, 奇点称为鞍点。

- $\lambda < 0, \mu > 0$ : 当  $t \rightarrow +\infty$  时,  $x = c_1 e^{\lambda t} \rightarrow 0$ , 见图5。
- $\lambda > 0, \mu < 0$ : 当  $t \rightarrow +\infty$  时,  $y = c_2 e^{\mu t} \rightarrow 0$ , 见图6。

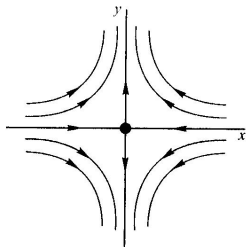


图5 鞍点

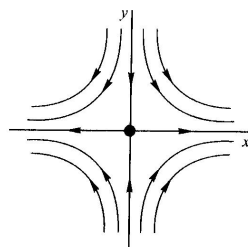


图6 鞍点

# 单向结点

$$(II) \ A = \begin{bmatrix} \lambda & 0 \\ 1 & \lambda \end{bmatrix}.$$

- 方程化为：

$$\begin{cases} \frac{dx}{dt} = \lambda x \\ \frac{dy}{dt} = x + \lambda y \end{cases}$$

$$\frac{dy}{dx} = \frac{1}{\lambda} + \frac{y}{x} \Rightarrow y = cx + \frac{x}{\lambda} \ln|x|, \quad x = 0$$

$$\Rightarrow \frac{dy}{dx} = c + \frac{1}{\lambda} \ln|x| + \frac{1}{\lambda}$$

$$\lim_{x \rightarrow 0} y = 0, \quad \lim_{x \rightarrow 0} \frac{dy}{dx} = \begin{cases} +\infty, & \lambda < 0 \\ -\infty, & \lambda > 0 \end{cases}$$

# 单向结点

- $\lambda < 0$ : 稳定的单向结点, 见图7。
- $\lambda > 0$ : 不稳定的单向结点, 见图8。

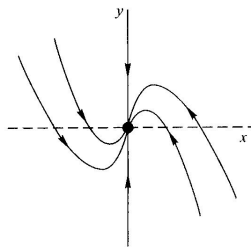


图7 稳定的单向结点( $\lambda < 0$ )

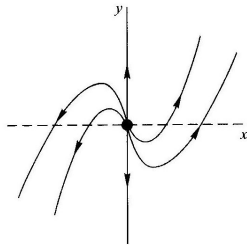


图8 不稳定的单向结点( $\lambda > 0$ )

## 单向结点

$$(III) : A = \begin{bmatrix} \alpha & -\beta \\ \beta & \alpha \end{bmatrix}, \quad \beta \neq 0.$$

令  $x = r \cos \theta, y = r \sin \theta$ , 方程化为:

$$\begin{cases} \frac{dr}{dt} = \alpha r \\ \frac{d\theta}{dt} = \beta \end{cases}$$

$$\frac{dr}{d\theta} = \frac{\alpha}{\beta} r \Rightarrow r = ce^{\frac{\alpha}{\beta}\theta}, c \geq 0$$

$\beta > 0 : \frac{d\theta}{dt} > 0$ , 逆时针方向。

$\beta < 0 : \frac{d\theta}{dt} < 0$ , 顺时针方向。

# 焦点、中心

- $\alpha < 0$ : 当  $t \rightarrow +\infty$  时,  $r \rightarrow 0$ , 稳定的焦点, 见  
**图9** ( $\alpha < 0, \beta > 0$ )。
- $\alpha = 0$ ,  $\frac{dr}{dt} = 0 \rightarrow r = c$ , 同心圆, 称为中心, 见  
**图10** ( $\alpha = 0, \beta > 0$ )。
- $\alpha > 0$ : 当  $t \rightarrow +\infty$  时,  $r \rightarrow +\infty$ , 不稳定的焦点, 见  
**图11** ( $\alpha > 0, \beta > 0$ )。

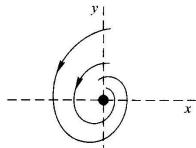


图9 稳定焦点

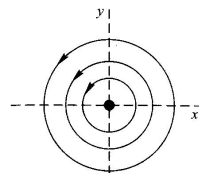


图10 中心

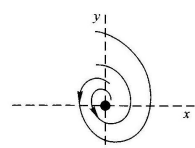


图11 不稳定焦点

# 根据特征根判定奇点类型

- (1) 同号实根：双向结点
- (2) 异号实根：鞍点
- (3) 相同实根：单向结点或星形结点
- (4) 一对共轭复根：焦点
- (5) 一对纯虚根：中心

### 三. 用矩阵 $A$ 的迹和行列式判定奇点的类型和稳定性

- $A = \begin{bmatrix} a & b \\ c & d \end{bmatrix}$
- $A$  的特征方程:

$$\lambda^2 - (a + d)\lambda + ad - bc = \lambda^2 + p\lambda + q,$$

其中  $p = -(a + d) = -\text{tr}(A)$ ,  $q = ad - bc = \det(A)$ .

- 两个根  $\lambda_1, \lambda_2$  满足

$$\lambda_1 + \lambda_2 = -p, \lambda_1 \lambda_2 = q.$$

### 三. 用矩阵 $A$ 的迹和行列式判定奇点的类型

定理1 (奇点类型判定) 设

$$p = -\text{tr}(A) = -(a + d), \quad q = \det(A) = ad - bc.$$

则

- (1) 当 $q < 0$ 时, 相异实根, 异号, 奇点 $(0, 0)$ 为鞍点。
- (1) 当 $q > 0$ 且 $p^2 - 4q > 0$ 时, 同号实根, 奇点 $(0, 0)$ 为双向结点。
- (3) 当 $q > 0$ 且 $p^2 - 4q = 0$ 时, 相同实根, 奇点 $(0, 0)$ 为单向结点或星形结点。 $\left( \begin{bmatrix} \lambda & 0 \\ 0 & \lambda \end{bmatrix}, \begin{bmatrix} \lambda & 0 \\ 1 & \lambda \end{bmatrix} \right).$
- (4) 当 $q > 0$ 且 $p^2 - 4q < 0, p \neq 0$ 时, 共轭复根, 奇点 $(0, 0)$ 为焦点。
- (5) 当 $q > 0$ 且 $p = 0$ 时,  $(0, 0)$ 为中心。

### 三. 用矩阵A的迹和行列式判定奇点的稳定性

奇点（结点，焦点）的稳定性：

$p > 0$ , 奇点 $(0, 0)$ 稳定;

$p < 0$ , 奇点 $(0, 0)$ 不稳定。

## 四. 非线性系统

非线性系统:

$$\begin{bmatrix} x' \\ y' \end{bmatrix} = A \begin{bmatrix} x \\ y \end{bmatrix} + R(x, y) \quad (7)$$

对应的线性系统:

$$x' = Ax \quad (8)$$

定理2

- (1) 如果(8)的焦点, 则它也是(7)的焦点, 并且他们的稳定性相同。
- (2) 如果(8)的鞍点或双向结点, 则它也是(7)的鞍点或双向结点, 并且有相同的稳定性。

## 四. 非线性系统

(3) 如果(0, 0)是(8)的单向结点，又对任给 $\varepsilon > 0$ ，都有

$$\lim_{r \rightarrow 0} \frac{R(x, y)}{r^{1+\varepsilon}} = 0 \quad (9)$$

则它也是(7)的单向结点，并且有相同的稳定性。

(4) 如果(0, 0)是(8)的星形结点，并且满足(9)，则它也是(7)的星形结点，并且有相同的稳定性。

## 四. 非线性系统

- **注1** 如果 $(0, 0)$ 是(8)的双曲奇点，即矩阵 $A$ 的特征值的实部都不等于零，则只要 $R(x, y)$ 及其导数足够小，(7)就局部拓扑等价于(8)，即在 $(0, 0)$ 的一个小邻域内，存在一个同胚变换（即本身及其逆都连续）将(7) 的轨线变到(8)的轨线，并且还保持轨线的方向。这时称(8)在 $(0, 0)$ 附近是局部结构稳定的。

## 五. 极限环

- 极限环：孤立的闭轨。
- 稳定（不稳定）的极限环：设 $\Gamma$ 是一个极限环，如果存在 $\Gamma$ 的一个邻域，使得从这个邻域出发的轨线当 $t \rightarrow +\infty$  ( $t \rightarrow -\infty$ ) 时都盘旋趋于 $\Gamma$ 。
- 半稳定（不稳定）的极限环（单侧）：如果存在 $\Gamma$ 的一侧（内侧或外侧）邻域，使得从这个邻域出发的轨线当 $t \rightarrow +\infty$  ( $t \rightarrow -\infty$ ) 时都盘旋趋于 $\Gamma$ 。

## 五. 极限环

例 考虑方程组:

$$\begin{aligned}\frac{dx}{dt} &= y + x(1 - x^2 - y^2) \\ \frac{dy}{dt} &= -x + y(1 - x^2 - y^2)\end{aligned}$$

令  $x = r \cos \theta, y = r \sin \theta$ , 方程化为:

$$\begin{aligned}\frac{dr}{dt} &= r(1 - r^2) \\ \frac{d\theta}{dt} &= -1\end{aligned}$$

可推得  $r = 1$  即  $x^2 + y^2 = 1$  是稳定的极限环。 (根据  $\frac{dr}{dt}$  和  $\frac{d\theta}{dt}$  的符号判断轨线的走向, 画图)

## 五. 极限环

- 考虑平面系统:

$$\frac{dx}{dt} = X(x, y), \quad \frac{dy}{dt} = Y(x, y) \quad (10)$$

- 定理3 设 $x = \varphi(t)$ 是(10)的一条轨线，它的 $\omega$ 极限集 $\Omega^+$ 非空，有界且不含奇点，则 $\Omega^+$ 是一条闭轨。
- 定理4（庞加莱-本迪克松环域定理）设 $D$ 是由两条简单闭曲线 $\Gamma_1$ 和 $\Gamma_2$ 所围成的环域，并且在 $\bar{D} = \Gamma_1 \cup D \cup \Gamma_2$ 上，系统(10)无奇点。如果从 $\Gamma_1$ 和 $\Gamma_2$ 出发的轨线都不离开（或都不进入） $\bar{D}$ ，而 $\Gamma_1$ 和 $\Gamma_2$ 均不是(10)的闭轨，则 $D$ 内至少存在一条闭轨（见图）。

## 五. 极限环

- 构造内境界线 $\Gamma_1$ 和 $\Gamma_2$ , 比较复杂。
- 物理意义: 设系统(10)描述了平面流体运动, 如果流体是从边界流入 $D$ ,  $D$ 中又没有源或汇, 则在 $D$ 内就有环流存在。  
源: 不稳定的结点或焦点; 汇: 稳定的结点或焦点。
- 如果 $X(x, y)$ 和 $Y(x, y)$ 在 $\bar{D}$ 上解析, 即为解析向量场, 则 $D$ 内的闭轨是极限环。

## 五. 极限环

- 定理5 (本迪克松准则) 设  $X(x, y), Y(x, y)$  在单连通区域  $D$  上连续可微, 若于  $D$  的任何子区域中散度

$$\operatorname{div}(X, Y) = \frac{\partial X}{\partial x} + \frac{\partial Y}{\partial y}$$

不恒为零, 并且不变号, 则(10)在  $D$  中无闭轨。

定理6 (有限性定理) 任何多项式系统(10)的极限环的个数在  $R^2$  中都是有限的。

# 作业

作业：

P 162: 1(1); 1(2); 1(3)